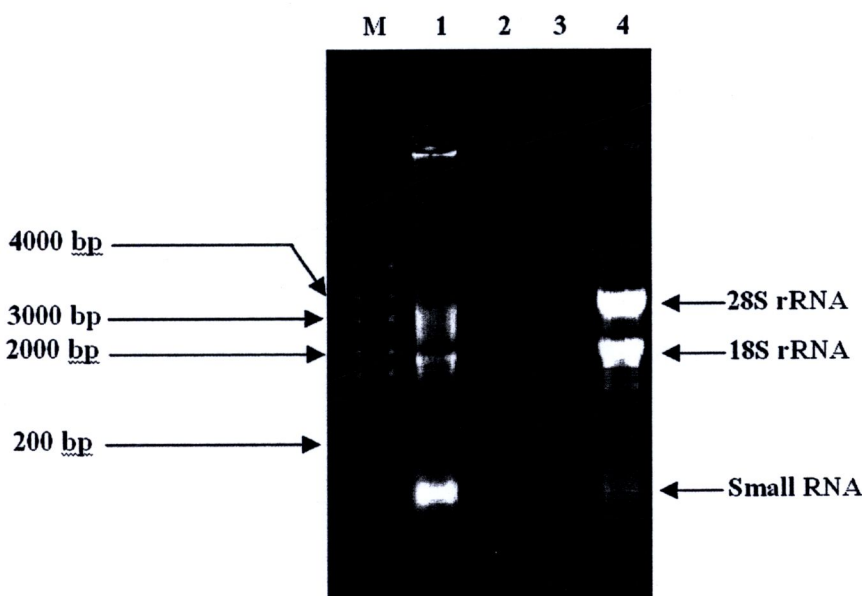


บทที่ 4

ผลการทดลอง

1. การสกัด Total RNA จากใบเปลือกน้อย

Total RNA ที่สกัดได้จากใบอ่อนของเปลือกน้อยจำนวน 1 กรัมมีความเข้มข้น $1.3 \mu\text{g}/\mu\text{L}$ ประกอบด้วย 3 ส่วนสำคัญคือ 28S rRNA, 18S rRNA และ small RNA (รูปที่ 4.1) มีค่า A₂₆₀/A₂₈₀ เท่ากับ 2 และมีค่า A₂₆₀/A₂₃₀ เท่ากับ 1.94 แสดงว่า total RNA ที่ได้มีความบริสุทธิ์ไม่มีการปนเปื้อนของโปรตีนและพอลิแซคคาไรด์ตามลำดับ สามารถใช้เป็นต้นแบบในการทำ RT-PCR เพื่อสังเคราะห์ cDNA ของยีน GGPPS ในขั้นตอนต่อไป

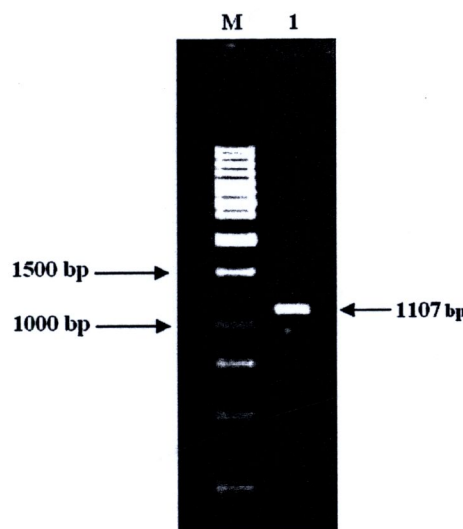


รูปที่ 4.1 แสดงการตรวจสอบคุณภาพของ Total RNA ที่ได้จากเปลือกน้อยด้วยเทคนิคฟอร์มอลดีไซด์เจลอิเล็กโทรโฟริซิตีความเข้มข้นของอะกราโนสเจล 1% ในสารละลายน้ำ 1X MOPS buffer ที่ความต่างศักย์ 100 V เป็นเวลา 1 ชั่วโมง โดยที่ Lane M คือ RNA มาตรฐาน (High range RNA ladder) และ Lane 1, 2, 3 และ 4 คือ total RNA ที่ได้จากใบเปลือกน้อยทั้งหมด 4 ตัวอย่าง ซึ่งแทน RNA หมายเลข 4 ปรากฏ 28S rRNA, 18S rRNA และ small RNA อย่างชัดเจน

2. การสร้างพลาสมิด pETDuet-1 vector ที่มีการแทรกสอดของยีน GGPPS

2.1 การโคลนยีน geranylgeranyl diphosphate synthase (GGPPS)

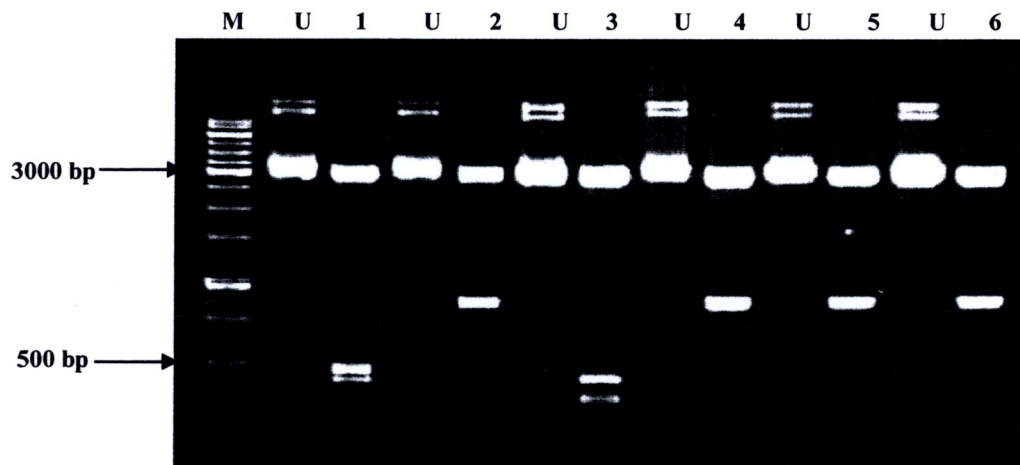
เมื่อนำ cDNA ที่ได้จากการทำ RT-PCR มาเพิ่มปริมาณยีน GGPPS ด้วยเทคนิค PCR โดยใช้ไพรเมอร์ GGPPSFW และ GGPPSRV พบร่วงๆ ได้ผลิตภัณฑ์พีซีอาร์ที่มีขนาดตามต้องการคือ 1107 bp (รูปที่ 4.2)



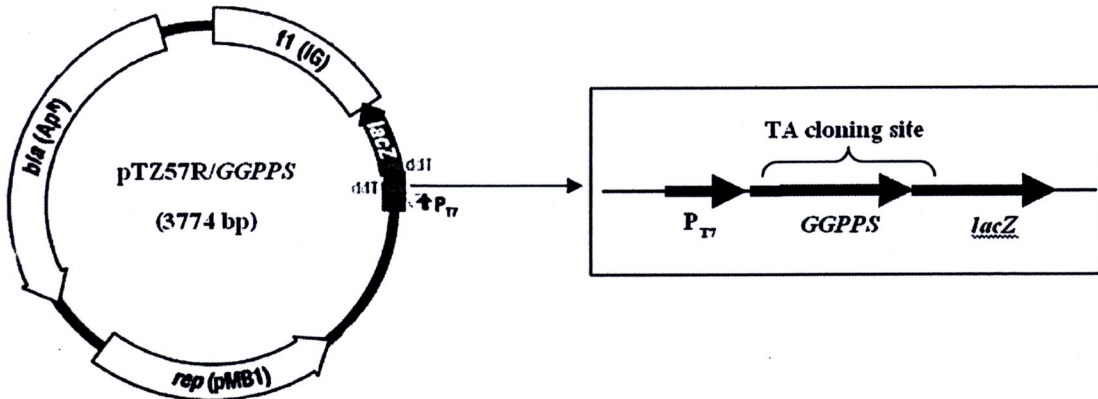
รูปที่ 4.2 แสดงการตรวจสອบແນ DNA ของยีน GGPPS ด้วยเทคนิคเจลอิเล็กโทรโฟเรชิสท์ความเข้มข้นของอะโกรสเจล 1% ในสารละลายตัวกลาง 1X TBE buffer ความต่างศักย์ 100 V เป็นเวลา 40 นาที โดยที่ Lane M คือ ແນ DNA มาตรฐาน 1 kb ladder และ Lane 1 คือ ແນ DNA ของยีน GGPPS ซึ่งมีขนาด 1107 bp

จากนั้นนำແນ DNA ของยีน GGPPS มาเชื่อมต่อ กับพลาสมิด pTZ57R/T vector และถ่ายโอนเข้าสู่ competent cell ของ *E. coli* DH5 α และตรวจสອบการแทรกสอดของยีน GGPPS พลาสมิด pTZ57R/T โดยตัดด้วยเอนไซม์ตัดจำเพาะ *Hind*III พบร่วงๆ พลาสมิดดีเอ็นเอหมายเลข 1 ให้ແນดีเอ็นเอที่เกิดจากการตัดด้วยเอนไซม์ *Hind*III ตามขนาดที่คาดไว้คือ 3118, 464 และ 411 bp ตามลำดับ (รูปที่ 4.3) และผลที่ได้จากการตรวจวิเคราะห์ลำดับนิวคลีโอไทด์ด้วยคู่ไพรเมอร์ M13 forward และ M13 reverse พบร่วงๆ ไม่มีการแทรกสอดของยีน GGPPS เข้าไปในตำแหน่ง cloning site ของพลาสมิด pTZ57R/T (รูปที่ 4.4) และพบการเปลี่ยนแปลงลำดับเบสของยีนในรูปแบบ silent mutation ทั้งหมด 7 ตำแหน่ง อันที่สำคัญไม่ส่งผลกระทบต่อการเปลี่ยนแปลงลำดับของกรดอะมิโนของ

ยีน *GGPPS* จึงนำพลาสมิด pTZ57R/T/*GGPPS* ใช้เป็นต้นแบบ (DNA template) ในการทำ PCR เพื่อเพิ่มปริมาณ truncate ของยีน *GGPPS*



รูปที่ 4.3 แสดงแบบ DNA ที่เกิดจากการตัดด้วยendonuclease HindIII และนำมาตรวจสอบด้วยเทคนิคเจลออกเล็กโตร โฟร์ซิสที่ความเข้มข้นของอะกัวโรสเจล 1 % โดยที่ Lane M คือแบบ DNA มาตรฐาน 1 kb ladder, Lane U คือ uncut plasmid DNA และ Lane 2, 4, 6, 8, 10 และ 12 คือແคนดีเอ็นเอที่เกิดจากการตัดด้วยendonuclease HindIII ซึ่ง DNA หมายเลข 1 คือพลาสมิด pTZ57R/T ที่มีการแทรกสอดของยีน *GGPPS*

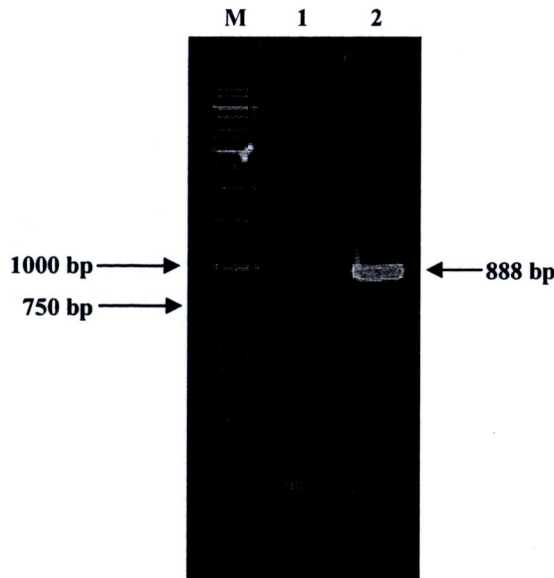


รูปที่ 4.4 แสดงแผนที่ของพลาสมิด pTZ57R/T/GGPPS และบริเวณที่มีการแทรกสอดของยีน GGPPS เข้าไปในตำแหน่ง “TA cloning site” ของพลาสมิด pTZ57R/T โดยที่พลาสมิด pTZ57R/GGPPS จะถูกนำมาใช้เป็นคีอีนต้นแบบในการทำ PCR เพื่อสร้าง truncate ของยีน GGPPS

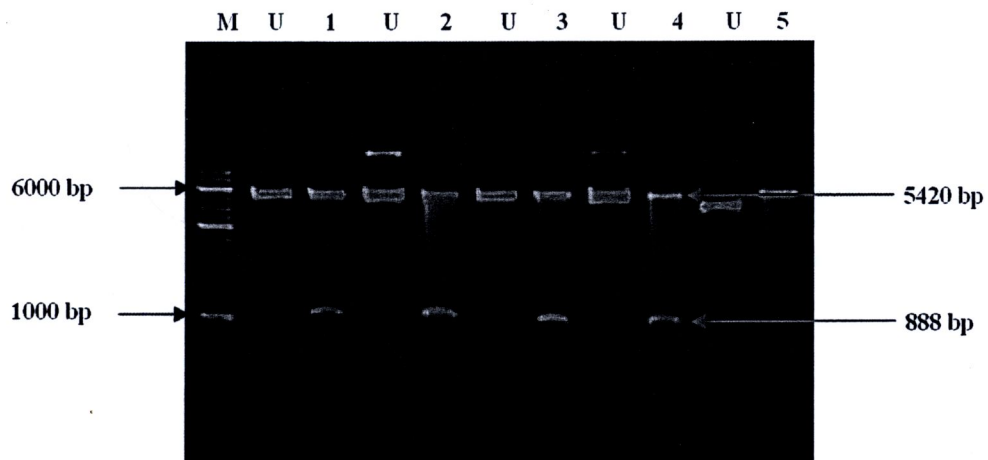
2.2 การโคลน GGPPS เข้าสู่ pETDuet-1 vector

เมื่อใช้พลาสมิด pTZ57R/GGPPS เป็น DNA ต้นแบบในการทำ PCR โดยใช้ไพรเมอร์ tGGPPS FW และ tGGPPS RV ที่ถูกออกแบบขึ้นมาเพื่อตัดส่วนของ peptide สัญญาณ (signal peptide) พบว่าผลิตภัณฑ์พิชาร์ท์ได้มีขนาดที่ต้องการคือ 888 bp (รูปที่ 4.5) และเมื่อนำชิ้น DNA ของยีน truncated GGPPS มาตัดด้วยเอนไซม์ BamHI และ SalI และเขื่อมต่อกับพลาสมิด pETDuet-1 vector ที่ถูกตัดด้วยเอนไซม์ชนิดเดียวกัน แล้วถ่ายโอนเข้าสู่ competent cell ของ *E. coli* DH5α แล้วตรวจสอบการแทรกสอดของยีน GGPPS ใน pETDuet-1 vector โดยตัดด้วยเอนไซม์ตัดจำเพาะ BamHI และ SalI ให้ผลดังรูปที่ 4.6 พบว่าพลาสมิดคีอีนหลายเลข 1, 2, 3 และ 4 ให้แอบDNAที่เกิดจากการตัดด้วยเอนไซม์ BamHI และ SalI ตามขนาดที่ต้องการคือ 5420 และ 888 bp ตามลำดับ ในขณะที่พลาสมิดคีอีนหลายเลข 5 ซึ่งเป็น pETDuet-1, empty vector ไม่พบการแทรกสอดของยีนเป็นอย่างมาก

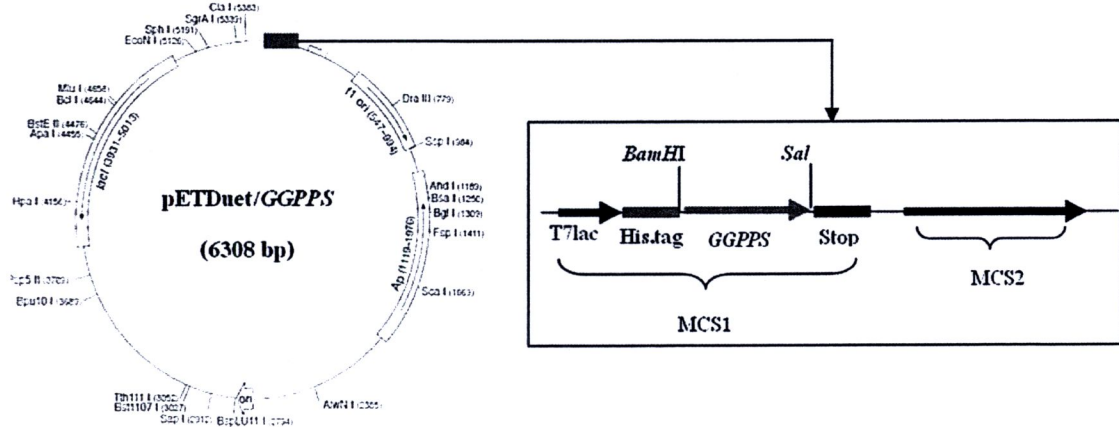
การวิเคราะห์ลำดับเบสของยีน GGPPS โดยใช้คู่ไพรเมอร์ pETUpstream primer และ DuetDOWN 1 primer พบการแทรกสอดของยีนเป็นอย่างมากเข้าไปในตำแหน่ง BamHI และ SalI บริเวณ MCSI ของ pETDuet-1 vector และถูกนำเสนอด้วย T7lac promoter และ self terminator ในทิศทางและมีเพริมการแปลรหัสเป็นพอลิเปปไทด์ที่ถูกต้อง (in-frame) (รูปที่ 4.7)



รูปที่ 4.5 แสดงແຄນ DNA ที่ได้จากการทำ PCR เพื่อเพิ่มปริมาณ truncate ของยีน *GGPPS* แล้วนำมาตรวจสอบด้วยเทคนิคเจลอะลีกโตริฟอร์ซิสที่ความเข้มข้นของอะกาโรสเจล 1 % โดยที่ Lane M คือແຄນ DNA มาตรฐาน 1 kb ladder; Lane 1 คือ Negative control ที่ใช้น้ำกลั่นปราศจากเชื้อแบน DNA ต้นแบบ; Lane 2 คือແຄນ DNA ของ truncate *GGPPS*



รูปที่ 4.6 แสดงแบบ DNA ที่เกิดจากการตัดด้วยเอนไซม์ *Bam*H I และ *Sa*I และทำการตรวจสอบด้วยเทคนิคเจลอิเล็กโทรโฟรีซิสที่ความเข้มข้นของอะกาโรสเจล 1% โดยที่ Lane M คือแบบ DNA มาตรฐาน 1 kb ladder, Lane U คือ uncut plasmid; Lane 1, 2, 3, 4, และ 5 คือแบบ DNA ที่เกิดจากการตัดด้วยเอนไซม์ *Bam*H I และ *Sa*I

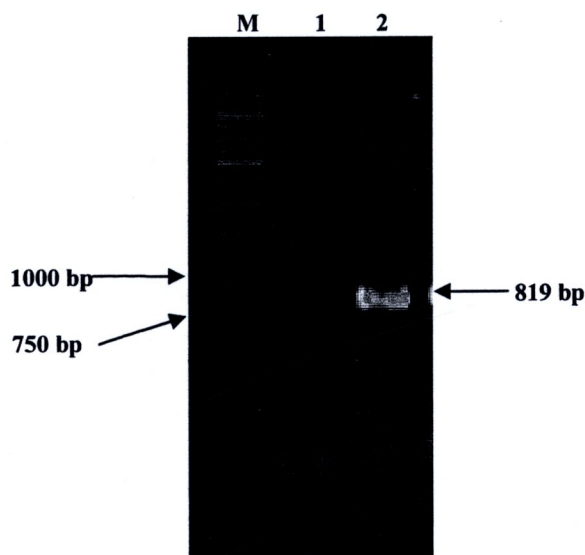


รูปที่ 4.7 แสดงแผนที่ของพลาสมิด pETDuet/GGPPS โดยที่ยืน GGPPS ถูกตัดต่อเข้าไปในตำแหน่ง BamHI และ SalI ของ MCSI และถูกขนาดข้างด้วย T7lac promoter และ self terminator sequence โดยทำการแสดงออกของยืน GGPPS สามารถเห็นได้โดยการเติม IPTG ลงในเซลล์เพาะเลี้ยง

3. การสร้างพลาสมิค pETDuet-1 vector ที่มีการแทรกสอดของยีน *PDPase*

3.1 การโคลน truncate ของยีน *PDPase*

เมื่อใช้พลาสมิค pET101/TOPO/*PDPase* เป็น DNA ต้นแบบในการทำ PCR เพื่อเพิ่มปริมาณ truncate ของยีน *PDPase* โดยใช้คู่ไฟรเมอร์ t*PDPase FW* และ t*PDPase RV* ที่ออกแบบขึ้นมาเพื่อตัดส่วนของ peptide สัญญาณตามรายงานของ Nualkaew และคณะ (Nualkaew et al., 2004) พนແນบ DNA ในขนาดที่ต้องการคือ 819 bp (รูปที่ 4.8)

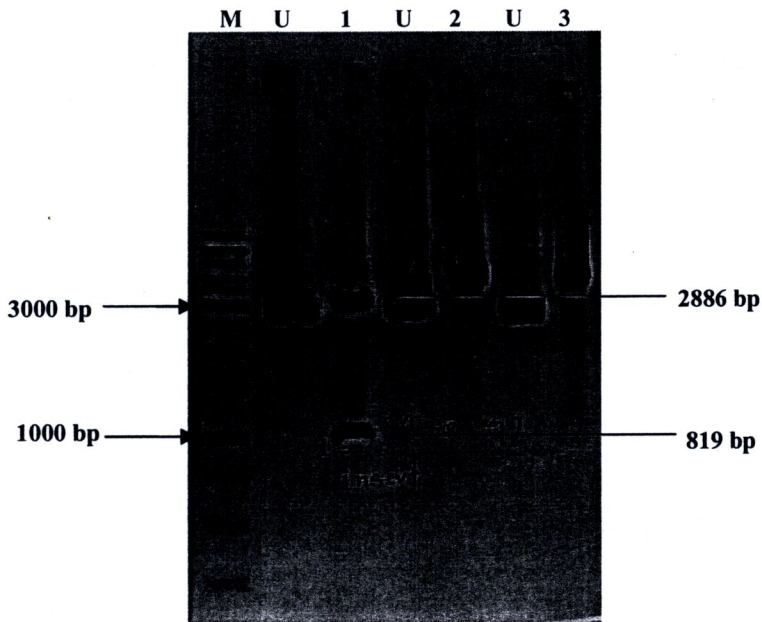


รูปที่ 4.8 แสดงແນบ DNA ของยีน truncate *PDPase*ที่ได้จากการทำ PCR แล้วนำมารวจสอบด้วยเทคนิคเจลオリエ็กตรอฟอเรซิสที่ความเข้มข้นของอะกอโรสเจล 1 % โดยที่ Lane M คือແນบ DNA มาตรฐาน 1 kb ladder; Lane 1 คือ Negative control ที่ใช้น้ำกัลลั่นปราศจากเชื้อแบน DNA ต้นแบบ และ Lane 2 คือແນบ DNA ของ truncate *PDPase*

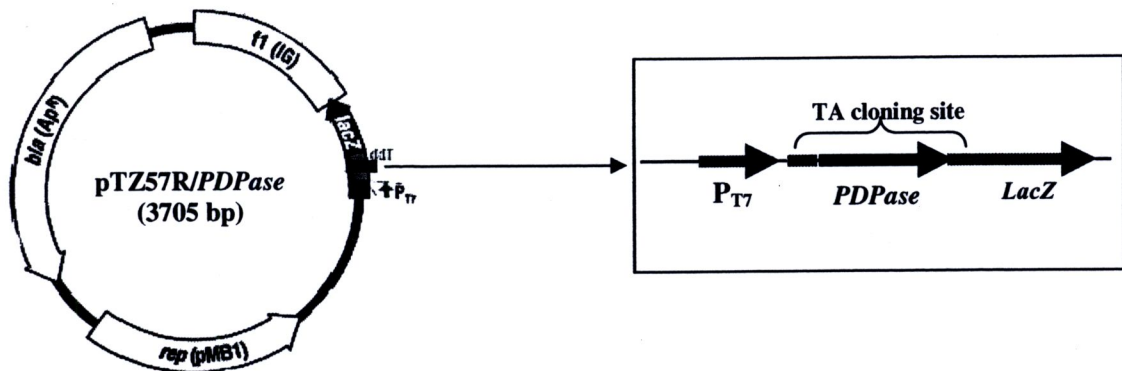
เมื่อนำ DNA ของ truncate *PDPase* มาทำปฏิกิริยาการเติมเบส Adenine (A) ที่ปลายด้าน 3' ของ DNA ทั้งสองด้าน และนำมาเชื่อมต่อ กับพลาสมิค pTZ57R/T vector แล้วถ่ายโอนเข้าสู่ competent cell ของ *E. coli* DH5 α จากนั้นจึงตรวจสอบการแทรกสอดของยีนเป้าหมายใน pTZ57R/T vector โดยตัดด้วยเอนไซม์ตัดจำเพาะ *NdeI* และ *EcoRV* พบร่วมกันอย่าง DNA หมายเลข 1 ให้ແນบ DNA ที่เกิดจากการตัดด้วยเอนไซม์ *NdeI* และ *EcoRV* ตามขนาดที่ต้องการคือ 2886 และ 819 bp ตามลำดับ (รูปที่ 4.9)



จากการวิเคราะห์ลำดับเบสของยีน *PDPase* โดยใช้คู่ไฟรเมอร์ M13 FW และ M13 RV พบว่ามีการแทรกสอดของยีนเป้าหมายในตำแหน่ง cloning site ของ pTZ57R/T vector และไม่พบการ mutation ของยีนเป้าหมาย (รูปที่ 4.10)



รูปที่ 4.9 แสดงแบบ DNA ที่เกิดจากการตัดด้วยเอนไซม์ *NdeI* และ *EcoRV* และทำการตรวจสอบด้วยเทคนิคเจลยิเล็กโตร โฟร์ซิสที่ความเข้มข้นของอะโกรสเจล 1% โดยที่ Lane M คือแบบ DNA มาตรฐาน 1 kb ladder; Lane U คือ uncut plasmid; Lane 1, 2 และ 3 คือแบบ DNA ที่เกิดจากการตัดด้วยเอนไซม์ *NdeI* และ *EcoRV*

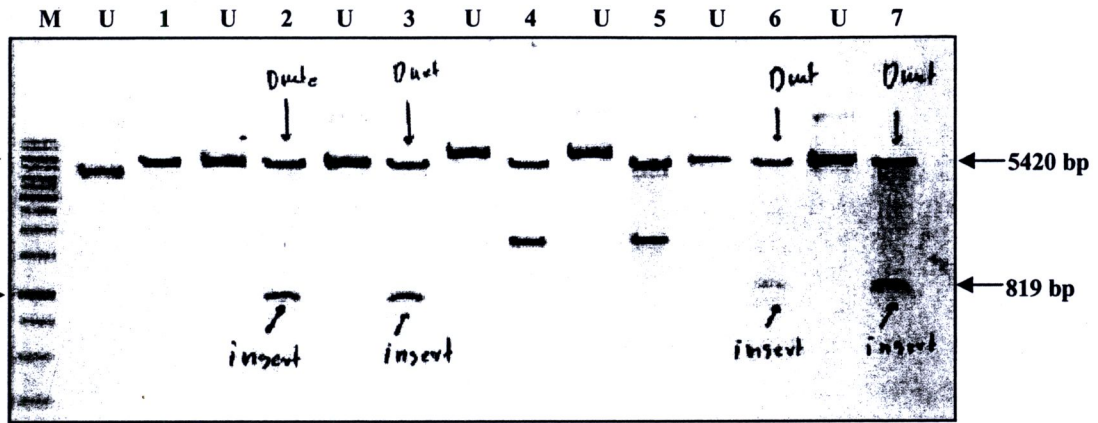


รูปที่ 4.10 แสดงแผนที่ของพลาสมิด pTZ57R/T/PDPase และบริเวณที่มีการแทรกสอดของยีน PDPase เข้าไปในตำแหน่ง “TA cloning site”

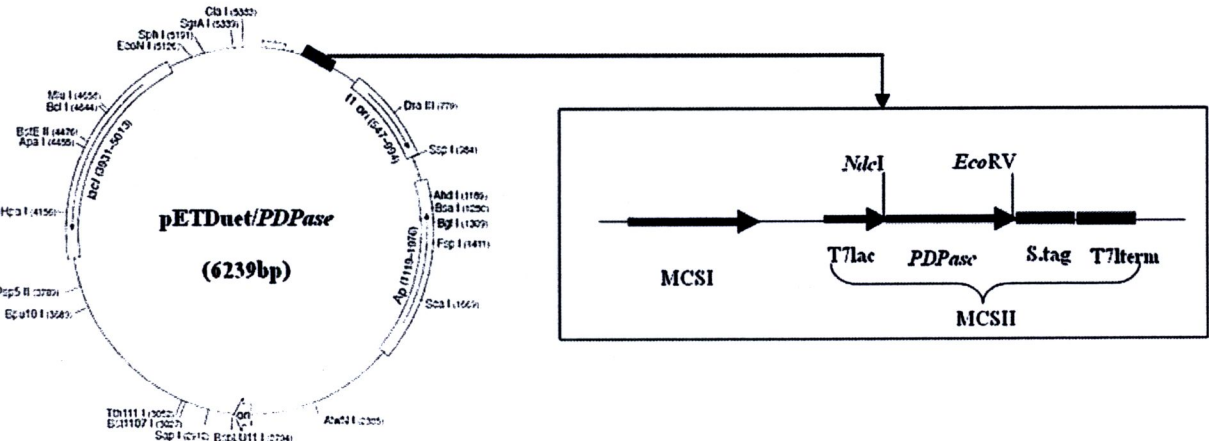
3.2 การโคลน truncate ของยีน PDPase เข้าสู่พลาสมิด pETDuet-1 vector

เมื่อนำพลาสมิด pTZ57R/T/PDPase มาตัดด้วย.enon ใช้มี *NdeI* และ *EcoRV* แล้วเชื่อมต่อกับพลาสมิด pETDuet-1 vector ที่ถูกตัดด้วย.enon ใช้มีตัดจำเพาะชนิดเดียวกัน และทำการตรวจสอบการแทรกสอดของยีนเป้าหมายโดยการตัดด้วย.enon ใช้มีตัดจำเพาะพบว่า DNA หมายเลข 2, 3, 6 และ 7 ปรากฏແນບ DNA ที่เกิดจาก การตัดด้วย.enon ใช้มี *NdeI* และ *EcoRV* ตามขนาดที่ต้องการคือ 5420 และ 819 bp ตามลำดับ (รูปที่ 4.11)

จากการวิเคราะห์ลำดับเบสของยีน PDPase โดยใช้ไฟรเมอร์ DuetUP2 primer และ T7 terminator พบร่วมกับการเชื่อมต่อของยีนเป้าหมายเข้าไปในตำแหน่ง *NdeI* และ *EcoRV* บริเวณ MCSII ของ pETDuet-1 vector และถูกนำเสนอด้วย T7lac promoter และ T7 terminator ในทิศทางและมีเฟรมการแปลงรหัสเป็นพอลิเปปไทด์ที่ถูกต้อง (in frame) (รูปที่ 4.12)



รูปที่ 4.11 แสดงแอบ DNA ที่เกิดจากการตัดด้วยเอนไซม์ *NdeI* และ *EcoRV* และทำการตรวจสอบด้วยเทคนิคเจลอิเล็กโทรโฟรีซิต โดยที่ Lane M คือ แอบ DNA มาตรฐาน 1 kb ladder; Lane U คือ uncut plasmid; Lane 1, 2, 3, 4, และ 5 คือ แอบ DNA ที่เกิดจากการตัดด้วยเอนไซม์ *NdeI* และ *EcoRV*

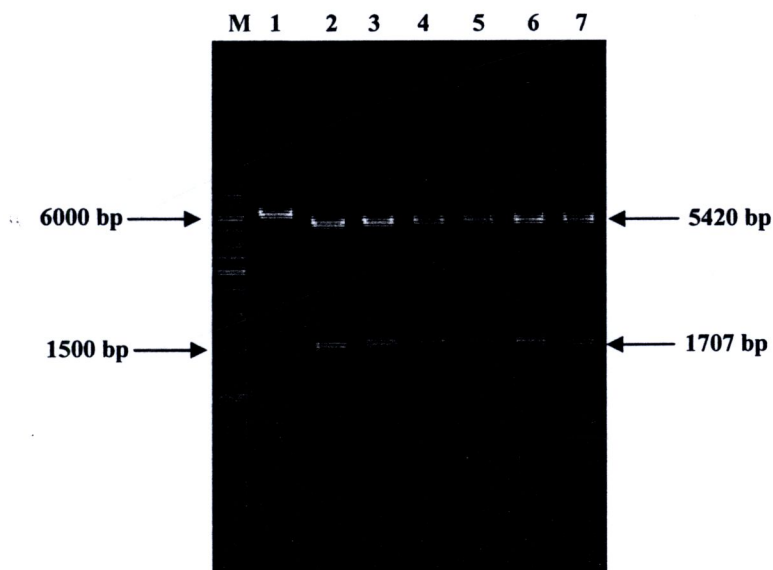


รูปที่ 4.12 แสดงแผนที่ของพลาสมิด pETDuet/PDPase โดยที่ยืนเป้าหมายถูกตัดต่อเข้าไปในบริเวณ *NdeI* และ *EcoRV* ของ MCS2 เพื่อมต่อกับ S-tag ที่ปลาย 5' เพื่อใช้ในการตรวจสอบการแสดงออกของยีน *PDPase* โดยใช้ S.tag monoclonal antibody

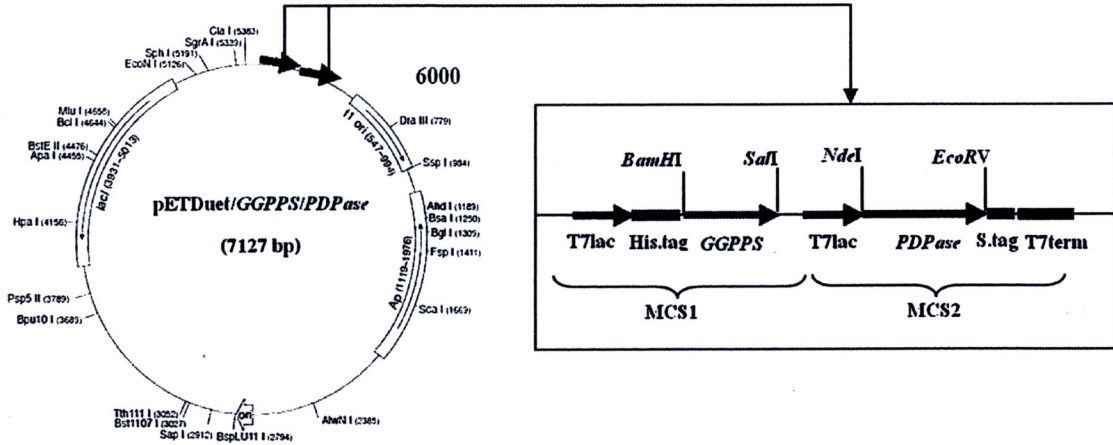
4. การสร้างพลาสมิด pETDuet-1 vector ที่มีการแทรกสอดของยีน *GGPPS* และ *PDPase*

เมื่อทำการเชื่อมต่อ pETDuet/*PDPase* และ truncated *GGPPS* ซึ่งถูกตัดด้วยendonuclease *BamHI* และ *EcoRV* จากนั้นถ่ายโอนเข้าสู่ *E. coli* DH5 α และทำการตรวจสอบการแทรกสอดของยีน เป้าหมายโดยการตัดด้วยendonuclease *BamHI* ตัดเฉพาะพบร่วม DNA หมายเลข 2, 3, 6 และ 7 ประกอบด้วย DNA ที่เกิดจากการตัดด้วยendonuclease *BamHI* และ *EcoRV* ตามขนาดที่ต้องการคือ 5420 และ 1707 bp ตามลำดับ (รูปที่ 4.13)

จากการวิเคราะห์ลำดับเบสของยีน *GGPPS* และ *PDPase* โดยใช้คู่ไพรเมอร์ pETUpstream primer และ DuetDOWN 1 primer และ(DuetUP2 primer และ T7 terminator) พบว่ามีการเชื่อมต่อของยีนเป้าหมายเข้าไปในตำแหน่ง MCSI และ MCSII ของ pETDuet-1 vector ในทิศทางและมีเพริมาร์แปรรหัสเป็นพอลิเปปไทด์ที่ถูกต้อง (in frame) (รูปที่ 4.14)



รูปที่ 4.13 แสดงแบบ DNA ที่เกิดจากการตัดด้วยendonuclease *BamHI* และ *EcoRV* แล้วนำมาตรวจสอบด้วยเจลオリจิสติกที่ความเข้มข้นของอะกัวโรสเจล 1 % โดยที่ Lane M คือ แบบ DNA มาตรฐาน 1 kb ladder, Lane 1, 2, 3, 4, 5, 6 และ 7 คือ แบบ DNA ที่เกิดจากการตัดด้วยendonuclease *BamHI* และ *EcoRV*

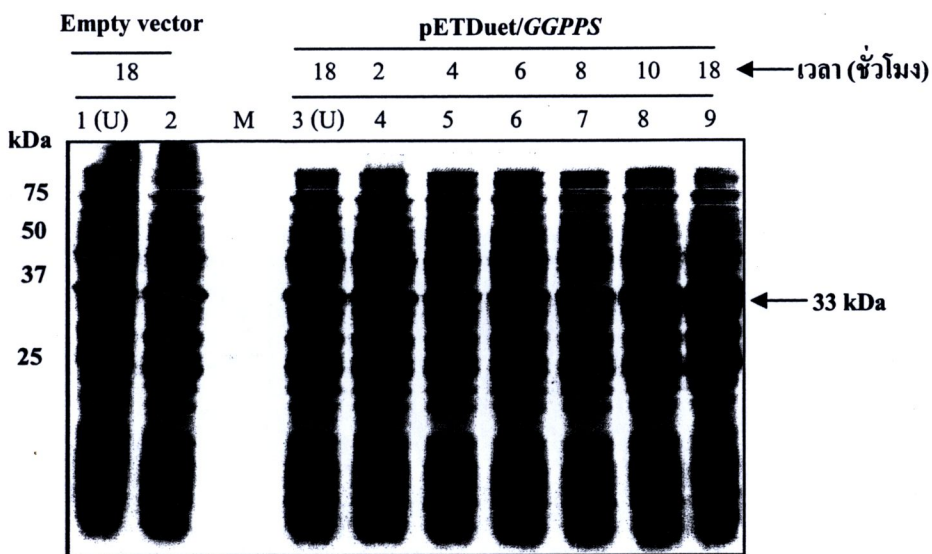


รูปที่ 4.14 แสดงแผนที่พลาสติก pETDuet/GGPPS/PDPase โดยที่ยืน *GGPPS* และ *PDPase* ถูกแทรกสองเข้าไปตำแหน่ง MCS1 และ MCS2 ของพลาสติก pETDuet-1 vector ตามลำดับ

5. การแสดงออกของยีนใน *E. coli* BL21(DE3)RIPL

5.1 การแสดงออกของยีน *GGPPS* ในพลาสติก pETDuet/GGPPS

จากการนำ *E. coli* BL21(DE3)RIPL ที่ได้รับการถ่ายโอนพลาสติก pETDuet/GGPPS มาตรวจสอบการแสดงออกของยีน *GGPPS* พบร่วมกับการสร้างโปรตีน *GGPPS* ที่มีขนาด 33 kDa ตามที่คาดการไว้ในขณะที่ *E. coli* BL21(DE3)RIPL ที่ได้รับการถ่ายโอน pETDuet-1 empty vector ไม่พบแอบโปรตีน (รูปที่ 4.15)



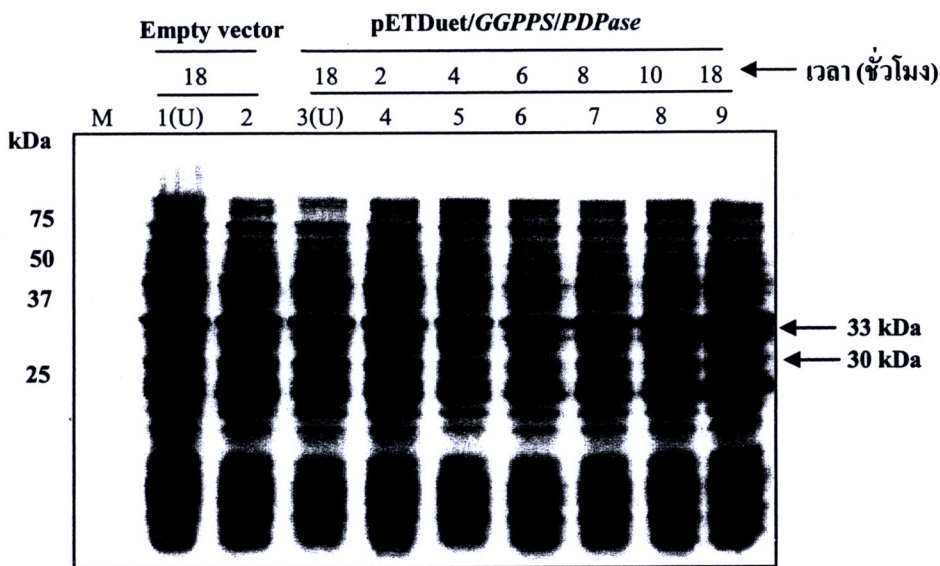
รูปที่ 4.15 แสดงผลการทำ SDS-PAGE เพื่อตรวจสอบการแสดงออกของยีน *GGPPS* ที่เวลาต่างๆ โดย Lane M คือ แباءป์มารฐาน; Lane 1 และ 2 แباءโปรตีนของโคลนที่ได้รับพลาสมิค pETDuet-1 empty vector; Lane 3-9 คือ แباءโปรตีนของโคลนที่ได้รับพลาสมิค pETDuet/*GGPPS* โดยที่ U คือ แباءโปรตีนที่ไม่ถูกเหนี่ยววนิให้เกิดการแสดงออกด้วย IPTG

5.2 การแสดงออกของยีน *PDPase* จากพลาสมิค pETDuet/*PDPase*

การตรวจสอบการแสดงออกของยีน *PDPase* จาก *E.coli* BL21(DE3)RIPL ที่ได้รับพลาสมิค pETDuet/*PDPase* ไม่พบการแสดงออกสร้างโปรตีนเป้าหมายที่มีขนาด 30 kDa และจากการตรวจยืนยันอีกครั้งโดยการทำ western blot พบร่วมกับไม่สามารถตรวจสอบแباءโปรตีนเป้าหมายของ *PDPase* ได้

5.3 การแสดงออกของยีน *GGPPS* และ *PDPase* ในพลาสมิค pETDuet/*GGPPS/PDPase*

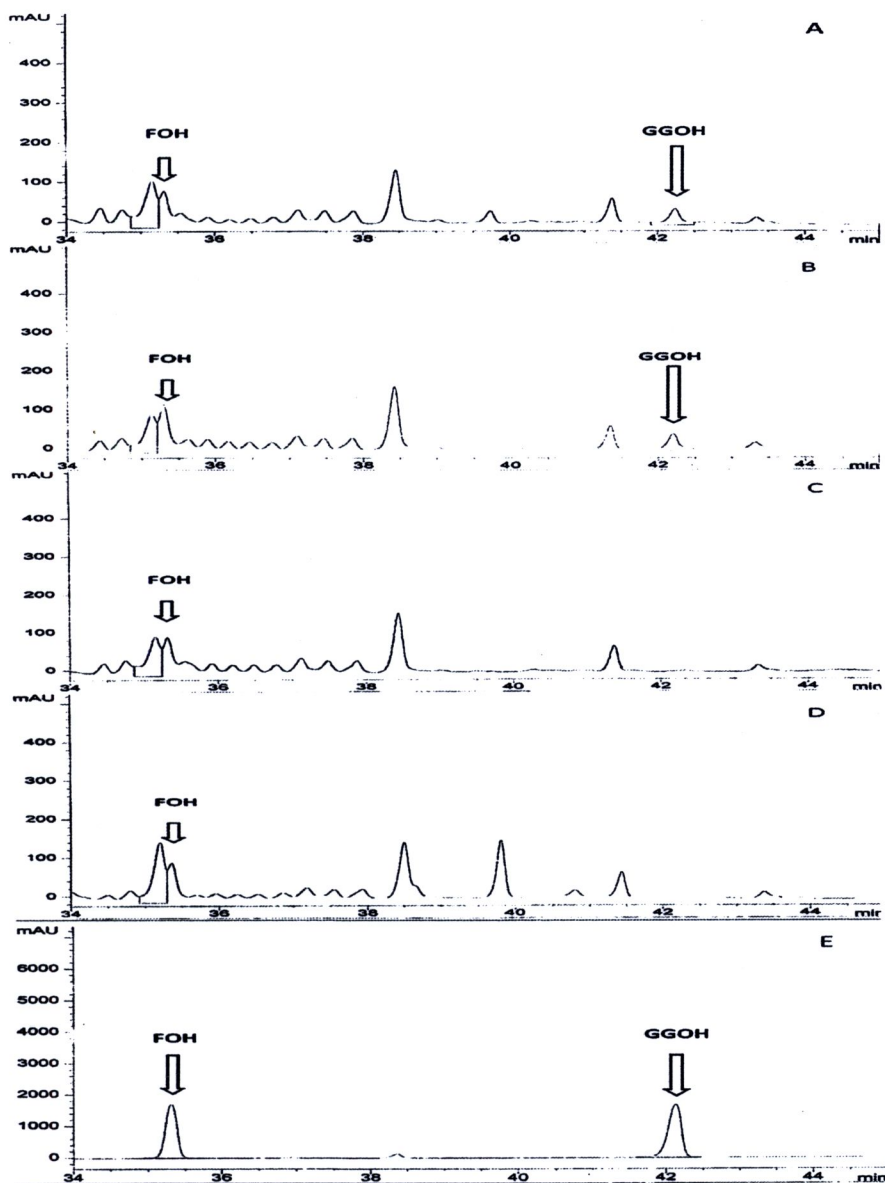
เมื่อนำ *E. coli* BL21(DE3)RIPL ที่ได้รับการถ่ายโอนพลาสมิค pETDuet *GGPPS/PDPase* มาตรวจสอบการแสดงออกของยีนโดยการทำ SDS-PAGE พบร่วมกับแباءโปรตีน *GGPPS* ในขนาดประมาณ 33 kDa ตามต้องการ ในขณะที่ไม่สามารถตรวจสอบการแสดงออกของยีน *PDPase* ได้ ควรมีขนาด 30 kDa (รูปที่ 4.16) จากการทำ western blot โดยใช้โนโนโคลนอลแอนติบอดีที่มีความจำเพาะต่อ S-agarose protein ก็ยังไม่สามารถตรวจสอบการแสดงออกของโปรตีนดังกล่าวได้เช่นเดียวกัน



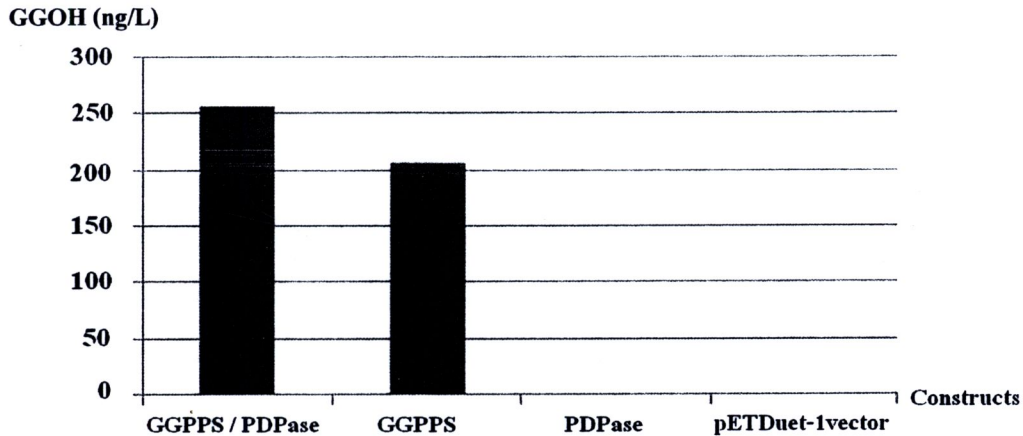
รูปที่ 4.16 แสดงผลการทำ SDS-PAGE เพื่อตรวจสอบการแสดงออกของยีน *GGPPS* และ *PDPase* ที่เวลาต่างๆ โดย Lane M คือ แباءป์โรมาตรฐาน; Lane 1 และ 2 แباء โปรตีนของโคลนที่ได้รับพลาสมิด pETDuet-1 empty vector; Lane 3-9 คือแباء โปรตีนของโคลนที่ได้รับพลาสมิด pETDuet/*GGPPS /PDPase* โดยที่ U คือแباء โปรตีนที่ไม่ถูกเหนี่ยวนำให้เกิดการแสดงออกด้วย 1mM IPTG

6. การวิเคราะห์ปริมาณ GGOH จากริคอมบิแนท *E. coli* ที่ได้รับการถ่ายโอนยีนที่เกี่ยวข้องในวิธีชีวสังเคราะห์ของ GGOH

จากการศึกษาลักษณะทางฟีโนไทป์โดยความสามารถในการผลิต GGOH พบร่วมโดยใช้เทคนิค HPLC พบร่วมกันที่ได้รับการพลาสมิด pETDuet/*GGPPS/PDPase* สามารถผลิต GGOH ได้ที่ระดับความเข้มข้น 252 ng/L และโคลนที่ได้รับการถ่ายโอนพลาสมิด pETDuet/*GGPPS* สามารถผลิต GGOH ได้ที่ระดับความเข้มข้น 205 ng/L ในขณะที่โคลนที่ได้รับพลาสมิด pETDuet/*PDPase* และ pETDuet-1 empty vector ไม่พบการผลิต GGOH นอกจากนี้ยังพบว่ามีการผลิต FOH จาก *E. coli* ทุกสายพันธุ์ที่ได้รับการถ่ายโอนพลาสมิด (*pETDuet/GGPPS*, *pETDuet/PDPase* และ *pETDuet/GGPPS/PDPase*) รวมทั้ง pETDuet-1 empty vector โดยที่รูป 4.17 แสดงการเปรียบเทียบปริมาณ GGOH ที่ตรวจวัดได้จากริคอมบิแนท *E. coli* ทั้ง 4 construct



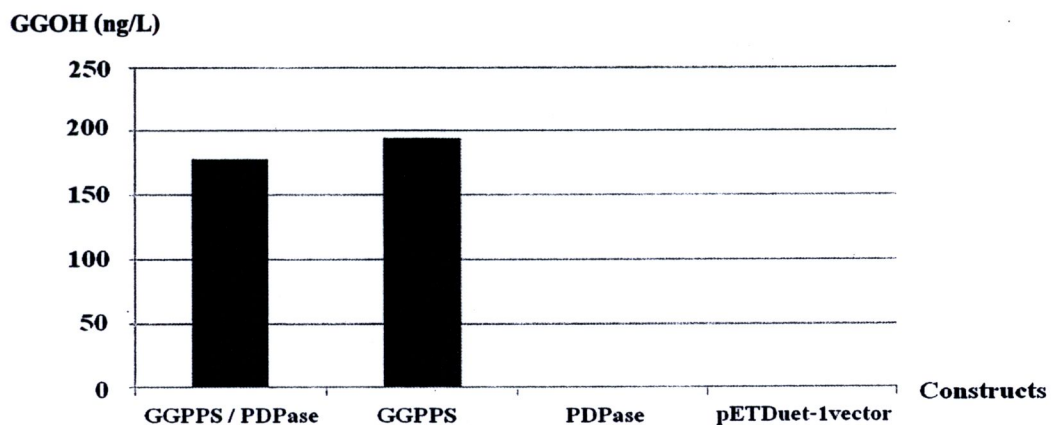
รูปที่ 4.17 แสดง HPLC chromatogram ของริคโนบีแนนท์ที่ได้รับการถ่ายโอนยีนในวิถีชีวสั่งเคราะห์ของ GGOH โดยที่ A คือโคลนที่ได้รับพลาสมิด pETDuet/GGPPS/PDPase; B คือโคลนที่ได้รับพลาสมิด pETDuet/GGPPS; C คือโคลนที่ได้รับพลาสมิด pETDuet/PDPase; D คือ control ที่ได้รับ empty vector และ E คือ chromatogram ของสารมาตรฐาน FOH และ GGOH



รูปที่ 4.18 กราฟแท่งแสดงการเปรียบเทียบปริมาณ GGOH จาก *E. coli* BL21(DE3)RIPL ที่ได้รับ การถ่ายโอนยืนที่เกี่ยวในวิถีชีวสังเคราะห์ของ GGOH

7. ผลของการเติมกลีเซอรอลลงในเซลล์เพาะเลี้ยงของริคอมนิแวนท์ *E. coli*

จากการเติมกลีเซอรอลลงในอาหารเลี้ยงเชื้อและตรวจวัดปริมาณ GGOH ที่ผลิตได้ด้วยเทคนิค HPLC พบว่า *E. coli* BL21(DE3)RIPL ที่ได้รับการถ่ายโอนพลาสมิด pETDuet/GGPPS และ pETDuet/GGPPS/PDPase มีการผลิต GGOH ลดลงอยู่ที่ระดับความเข้มข้น 194.6 และ 178 นาโนกรัมต่อลิตรตามลำดับ ในขณะที่ *E. coli* BL21(DE3)RIPL ที่ได้รับการถ่ายโอน pETDuet/PDPase และ pETDuet-1 empty vector ไม่พบการผลิต GGOH (รูปที่ 4.19)

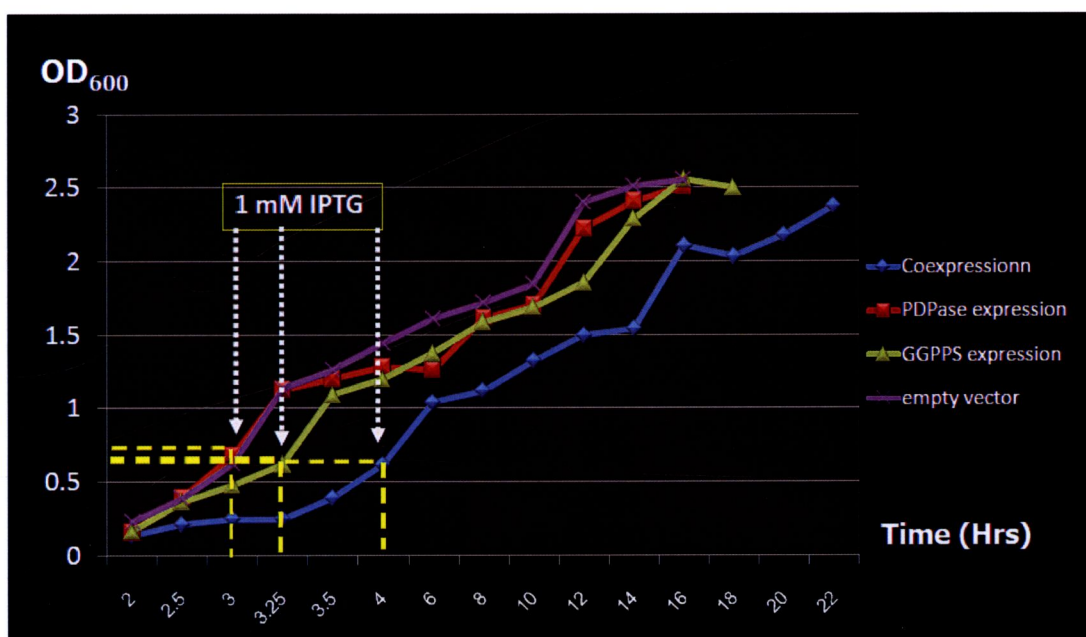


รูปที่ 4.19 กราฟแท่งแสดงการเปรียบเทียบปริมาณ GGOH จาก *E. coli* BL21(DE3)RIPL ที่ได้รับ การถ่ายโอน ยืนที่เกี่ยวข้องในวิถีชีวสังเคราะห์ของ GGOH ที่ผ่านการทำ feeding ของ กลีเซอรอล

8. การศึกษาอัตราการเจริญเติบโตของริคอมบิแนนท์ *E. coli*

จากการศึกษาอัตราการเจริญเติบโตของริคอมบิแนนท์ *E. coli* พบว่าขนาดของพลาสมิดดีเอ็นเอ (size) มีผลต่อการเจริญเติบโตของริคอมบิแนนท์ *E. coli* ในช่วงก่อน log phase โดยโคลนที่ได้รับพลาสมิด pETDuet/GGPPS/PDPase ใช้เวลาประมาณ 4 ชั่วโมง ในขณะที่โคลนที่ได้รับพลาสมิด pETDuet/GGPPS ใช้เวลาประมาณ 3 ชั่วโมง 15 นาที ส่วนโคลนที่ได้รับพลาสมิด pETDuet/PDPase และ pETDuet-1 empty vector ใช้เวลาเพียง 3 ชั่วโมง

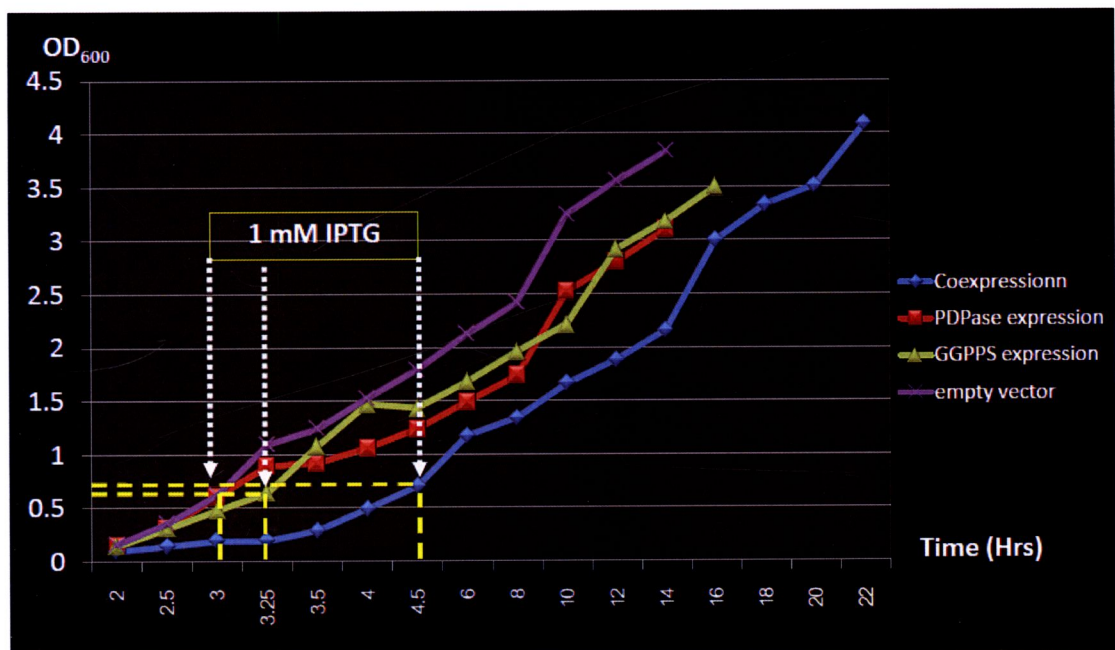
อัตราการเจริญเติบโตหลังจากที่เห็นช่วงสำหรับการแสดงออกของโปรตีนเป้าหมายด้วย 1 mM IPTG (ที่ค่า OD₆₀₀ เท่ากับ 0.6-0.8) พบว่า *E. coli* BL21(DE3)RIPL ที่ได้รับการถ่ายโอน พลาสมิด pETDuet/GGPPS, pETDuet/PDPase และ pETDuet-1 empty vector มีอัตราการเจริญเติบโตเพิ่มขึ้นอย่างต่อเนื่อง โดยโคลนที่ได้รับพลาสมิด pETDuet/GGPPS/PDPase มีอัตราการเจริญเติบโตช้าที่สุด (growth inhibition) (รูปที่ 4.22)



รูปที่ 4.20 อัตราการเจริญเติบโตของริคอมบิแนนท์ *E. coli* ที่ได้รับการถ่ายโอนยีนที่เกี่ยวข้องในวิถีชีวสังเคราะห์ของ GGOH โดยที่ลูกศรแสดงเวลาที่เติม IPTG เพื่อเห็นช่วงสำหรับการแสดงออกของยีนเป้าหมาย

9. อัตราการเจริญเติบโตของริคอมบิแนนท์ *E. coli* ในอาหารเหลวที่มีกลีเซอรอล

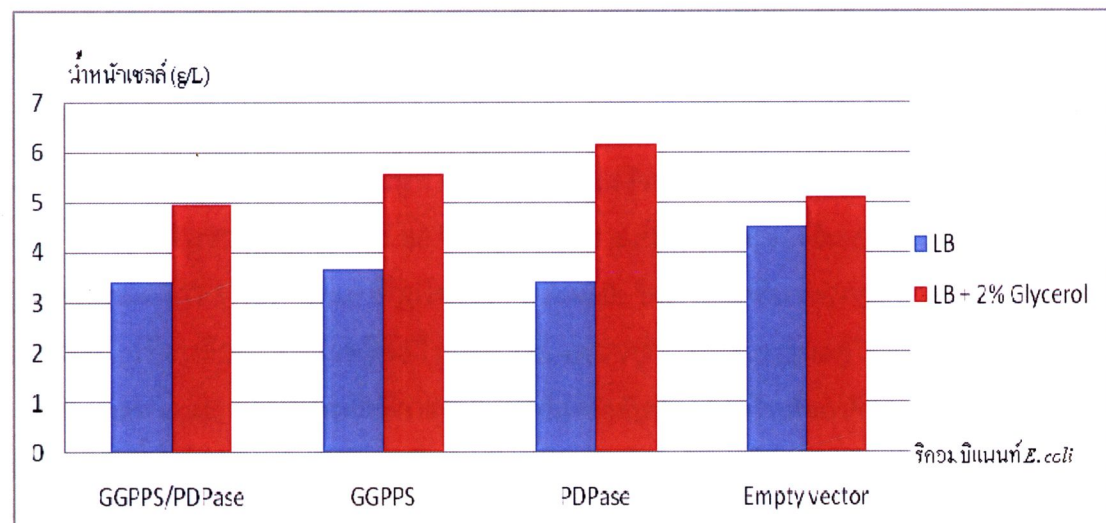
เมื่อเติมกลีเซอรอลลงไปในอาหารเหลว LB และทำการศึกษาอัตราการเจริญเติบโตของริคอมบิแนนท์ *E. coli* ที่ได้รับการถ่ายโอนยืนที่เกี่ยวข้องในวิถีชีวสังเคราะห์ของ GGOH พบร่วมกันของพลาสมิดีเอ็นเอเมล็ดต่ออัตราการเจริญเติบโตของเซลล์เพาะเลี้ยง เมื่อพิจารณาอัตราการเจริญเติบโตก่อนถึงช่วง log phase พบร่วมกันของ *E. coli* BL21(DE3)RIPL ที่ได้รับการถ่ายโอนพลาสมิด pETDuet/PDPase และ pETDuet-1 empty vector ใช้เวลาเพียง 3 ชั่วโมง ในขณะที่โคลนที่ได้รับพลาสมิด pETDuet/GGPPS ใช้เวลาประมาณ 3 ชั่วโมง 15 นาที และ *E. coli* BL21 (DE3) RIPL ที่ได้รับพลาสมิด pETDuet/GGPPS/PDPase ใช้เวลาประมาณ 4 ชั่วโมง 30 นาทีก่อนถึงช่วง log phase โดยที่อัตราการเจริญเติบโตหลังจากเหนี่ยวนำให้เกิดการแสดงออกของยีนด้วย 1 mM IPTG พบร่วมกันของ *E. coli* ทุกสายพันธุ์มีการเจริญเติบโตเพิ่มขึ้นอย่างต่อเนื่องยกเว้นโคลนที่ได้รับพลาสมิด pETDuet/GGPPS/PDPase เกิดขบวนการ cell growth inhibition (รูปที่ 4.21)



รูปที่ 4.21 อัตราการเจริญเติบโตของริคอมบิแนนท์ *E. coli* ในอาหารเหลว LB ที่มีกลีเซอรอล โดยลูกศรแสดงระยะเวลาที่มีการเหนี่ยวนำให้เกิดการแสดงออกของยีนเป้าหมายด้วย 1 mM IPTG

10. การเปลี่ยนแปลงค่าชีวมวลของริคโอมบิແນນท์ *E. coli* ในอาหารที่มีส่วนผสมของกลีเซอรอล

จากการเติมกลีเซอรอลลงในอาหารเหลว LB พบริคโอมบิແນນท์ *E. coli* ทุกสายพันธุ์มีการเพิ่มขึ้นของค่าชีวมวล เมื่อเทียบกับค่าชีวมวลของริคโอมบิແນນท์ *E. coli* ในอาหารเหลว LB ที่ไม่มีส่วนผสมของกลีเซอรอล (รูปที่ 4.22)



รูปที่ 4.22 แผนภูมิเปรียบเทียบค่าชีวมวลของริคโอมบิແນນท์ *E. coli* ในอาหารเหลวสูตรต่างๆ